

УДК 628.1:595.2

**Ж.К. Касымбеков, Н.П. Ни, Б.С. Ботантаева**

## **ИСПЫТАНИЕ ВОДОПРОВОДНОГО ВОЗДУХООТДЕЛИТЕЛЯ- НАПОРОГАСИТЕЛЯ ЦЕНТРОБЕЖНОГО ДЕЙСТВИЯ В ЛАБОРАТОРНЫХ УСЛОВИЯХ**

Установлено, что расположение воздухоотделителя центробежного действия в верхней точке перегиба трубопровода исключает в полной мере возникновение гидравлического удара особенно при воздухосодержании до 16% от расхода воды. При этом, степень воздухоотделения составляет 80...85% и данному условию работы соответствуют рациональные режимные параметры.

Использование воздухоотделителя-напорогасителя центробежного действия в верхней точке перегиба водовода исключает возникновение гидравлического удара в нисходящей ветви за счет выхода воздушного скопления из трубопровода

**Ключевые слова:** водопровод, воздухоотделитель центробежного действия, напорогаситель, испытание.

*Наши авторы:*

**Касымбеков Жузбай Кожабаевич**, д.т.н., академик Национальной инженерной академии РК, проф. кафедры «Инженерные системы и сети» Казахского национального технического университета имени К.И.Сатпаева (Казахстан), 050036, Алматы, мкрн «Мамыр-3», д.22, кв. 18. e-mail: jkk2004@mail.ru

**Ни Надежда Поликарповна**, к.т.н., ведущий научный сотрудник Казахского научно-исследовательского института водного хозяйства (Казахстан).

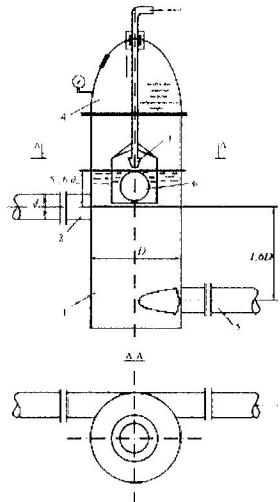
**Ботантаева Бибиғул Сарыбаевна**, к.т.н., руководитель группы ПК «Казгипроводхоз» (Казахстан).

Как показывает практика, воздушные скопления, которые являются причиной гидравлических ударов, образуются в напорных водоводах за счет несовершенства отдельных линейных сооружений, оборудования, арматуры и других конструктивно-технологических особенностей. Они сужают сечение водовода, уменьшая тем самым пропускную способность, создают пульсации напора и приводят к авариям [1].

Основной арматурой по борьбе с воздушными скоплениями в водоводах служат различные клапаны и вантузы, которые устанавливаются согласно техническим условиям практически во множестве возвышенных точек перелома профиля водовода. Однако, они преимущественно срабатывают лишь в аварийных ситуациях и тем самым не обеспечивают преждевременного предохранения водоводов от образования в них воздушных скоплений.

Испытуемый воздухоотделитель-напорогаситель центробежного действия [2] предназначен для отделения и удаления воздуха из напорных водоводов условными диаметрами 50 ... 200 мм и гашения энергии фаз гидравлического удара (рис. 1).

При этом, отделение воздуха из потока воды происходит за счет тангенциального подвода и отвода воды из цилиндрического корпуса воздухоотделителя-напорогасителя



**Рис. 1.** Схематический разрез и общий вид гидроциклонного воздухоотделителя-напорогасителя

1 — корпус; 2 — подвод водовоздушной смеси;  
3 — воздухоотводящая трубка; 4 — воздушный аккумулятор.

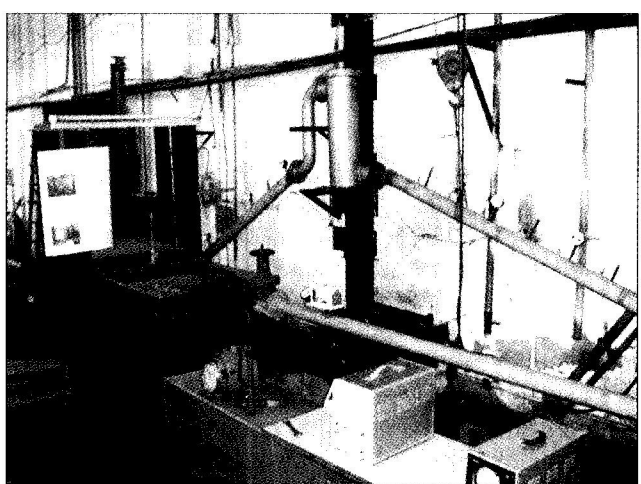
при различных углах наклона восходящей и нисходящей линий водовода (от  $0^\circ$  до  $30^\circ$ ) и объема воздуха в воздушном колпаке воздухоотделителя-напорогасителя, назначаемом в последовательности от 0,0; 0,01; 0,02; 0,03; 0,04.

В ходе испытания установлено, что эффективность воздухоотделителя уменьшается с увеличением внутритрубного давления, т. к. часть объема воздуха растворяется в воде и не отделяется в воздухоотделителе. Увеличение давления вызывает переход на насыщенный режим работы воздухоотделителя центробежного действия. В этих условиях происходит турбулентное смещивание водовоздушной смеси в воздухоотделителе, что отрицательно отражается на эффективности его работы.

с образованием воздушного шнура в центральной части. Когда воздушный аккумулятор заполняется воздухом, уровень воды в корпусе воздухоотделителя понижается и поплавковый шар-клапан открывается. Скользящий воздух выходит по воздухоотводящей трубе в атмосферу.

Испытания опытного образца проводились на лабораторном стенде, показанном на рисунке 2. Он состоит из замкнутого контура водопровода, измерительных приборов и испытуемого оборудования.

Измерение давления фаз гидравлического удара и гашение их энергии было проведено при различных углах наклона восходящей и нисходящей линий водовода (от  $0^\circ$  до  $30^\circ$ ) и объема воздуха в воздушном колпаке воздухоотделителя-напорогасителя, назначаемом в последовательности от 0,0; 0,01; 0,02; 0,03; 0,04.



**Рис. 2.** Лабораторный стенд для испытания воздухоотделителя-напорогасителя центробежного действия

Фазы гидравлического удара и гашение их энергии в зависимости от объема воздуха в верхней части воздухоотделителя-напорогасителя при различных уклонах линий приведены в таблице 1.

Таблица 1.

**Фазы гидравлического удара и гашение их энергии в зависимости от объема воздуха в верхней части воздухоотделителя-напорогасителя**

№, п/п	$V_0$ , м/с	$W_B = 0 \text{ м}^3$			$W_B = 0,01 \text{ м}^3$			$W_B = 0,02 \text{ м}^3$			$W_B = 0,03 \text{ м}^3$			$W_B = 0,04 \text{ м}^3$		
		$\Delta h_1$ , МПа	$\Delta h_2$ , МПа	$\Delta h_3$ , МПа	$\Delta h_1$ , МПа	$\Delta h_2$ , МПа	$\Delta h_3$ , МПа	$\Delta h_1$ , МПа	$\Delta h_2$ , МПа	$\Delta h_3$ , МПа	$\Delta h_1$ , МПа	$\Delta h_2$ , МПа	$\Delta h_3$ , МПа	$\Delta h_1$ , МПа	$\Delta h_2$ , МПа	$\Delta h_3$ , МПа
1	2	3	4	5	6	7	8	9	10	11	12	13	14	15	16	17
Угол наклона восходящей и нисходящей линий равен 0°																
1	0,22	0,38	0,12	0,06	0,28	0,08	—	0,18	0,06	—	0,14	—	—	0,04	—	—
2	0,43	0,49	0,36	0,08	0,33	0,1	—	0,2	0,09	—	0,15	—	—	0,05	—	—
3	0,61	0,72	0,76	0,52	0,57	0,25	—	0,36	0,12	—	0,27	0,12	—	0,08	—	—
4	0,97	0,98	1,26	0,64	0,87	0,46	—	0,51	0,25	—	0,41	0,17	—	0,11	0,07	—
5	1,02	1,27	1,65	0,81	1,01	0,59	0,08	0,66	0,37	—	0,49	0,21	—	0,15	0,08	—
6	1,31	1,52	2,21	0,96	1,25	0,6	0,12	0,78	0,34	0,06	0,58	0,27	—	0,23	0,14	—
Угол наклона восходящей и нисходящей линий равен 10°																
1	0,22	0,39	0,24	0,08	0,29	0,08	—	0,18	0,07	—	0,13	—	—	0,04	—	—
2	0,43	0,51	0,36	0,09	0,34	0,09	—	0,21	0,07	—	0,16	0,06	—	0,045	—	—
3	0,61	0,76	0,84	0,31	0,64	0,61	0,28	0,38	0,42	0,2	0,28	0,31	0,16	0,09	0,18	—
4	0,97	1,04	1,51	0,81	0,93	0,92	0,41	0,59	0,54	0,19	0,43	0,41	0,2	0,13	0,27	0,13
5	1,02	1,34	1,92	0,87	1,06	1,15	0,56	0,69	0,74	0,38	0,51	0,5	0,25	0,16	0,37	0,17
6	1,31	1,64	2,28	1,11	1,32	1,36	0,68	0,84	0,85	0,43	0,62	0,55	0,27	0,28	0,48	0,22
Угол наклона восходящей и нисходящей линий равен 20°																
1	2	3	4	5	6	7	8	9	10	11	12	13	14	15	16	17
1	0,22	0,41	0,26	0,1	0,31	0,09	—	0,19	0,08	—	0,14	—	—	0,045	—	—
2	0,43	0,56	0,41	0,16	0,38	0,1	—	0,23	0,08	—	0,17	0,06	—	0,05	—	—
3	0,61	0,83	0,9	0,4	0,66	0,66	0,31	0,41	0,46	0,22	0,31	0,34	0,17	0,09	0,2	—
4	0,97	1,08	1,6	0,86	0,94	0,92	0,41	0,61	0,56	0,25	0,45	0,43	0,2	0,14	0,27	0,1
5	1,02	1,43	2,08	1,06	1,13	1,2	0,6	0,74	0,79	0,38	0,53	0,53	0,26	0,17	0,39	0,18
6	1,31	1,72	2,41	1,24	1,38	1,42	0,72	0,88	0,89	0,45	0,65	0,55	0,28	0,29	0,44	0,23
Угол наклона восходящей и нисходящей линий равен 30°																
1	0,22	0,45	0,28	0,09	0,34	0,1	—	0,21	0,09	—	0,16	—	—	0,05	—	—
2	0,43	0,68	0,44	0,11	0,45	0,12	—	0,28	0,12	—	0,21	0,08	—	0,06	—	—
3	0,61	0,86	0,93	0,35	0,68	0,69	0,32	0,43	0,48	0,23	0,32	0,36	0,18	0,1	0,21	0,08
4	0,97	1,1	1,63	0,86	0,98	0,94	0,43	0,63	0,57	0,27	0,46	0,44	0,21	0,14	0,29	0,14
5	1,02	1,51	2,13	0,98	1,2	1,3	0,63	0,78	0,84	0,43	0,58	0,57	0,28	0,18	0,42	0,2
6	1,31	1,82	2,54	1,23	1,47	1,51	0,76	0,93	0,95	0,48	0,69	0,61	0,3	0,31	0,48	0,25

Анализ приведенных данных при нулевом объеме воздуха в воздушном колпаке ( $W_B=0$ ) показывает, что давление во второй фазе, при скорости движения жидкости в водоводе более 0,5 м/с, превышает давление первой фазы в 1,2...1,5 раза. Это вызвано разрывом сплошности потока жидкости, который возникает при остановке насосной установки, резким закрытием задвижки на напорной линии, а также в наклонных трубопроводах, когда в прямом направлении по инерции продолжают двигаться два потока жидкости — восходящий и нисходящий. Под действием гравитации и сил трения восходящий поток останавливается и начинает двигаться в обратном направлении, а нисходящий поток продолжает движение вниз по трубопроводу, вызывая в переломной точке водовода дополнительное вакуумирование.

В случае, когда восходящий поток жидкости при максимальном вакуумировании в верхней переломной точке водовода догонит нисходящий, то при их соударении возникнет дополнительное повышение ударного давления, которое можно определить по формуле [3]:

$$H = \frac{aV_0}{g} + (1.2 \dots 1.6) H_0, \quad (1)$$

где:  $a$  — скорость распространения ударной волны, м/с<sup>2</sup>;

$g$  — ускорение силы тяжести, м/с<sup>2</sup>;

$V_0$  — установившаяся скорость течения жидкости, м/с;

$H_0$  — статический напор, МПа.

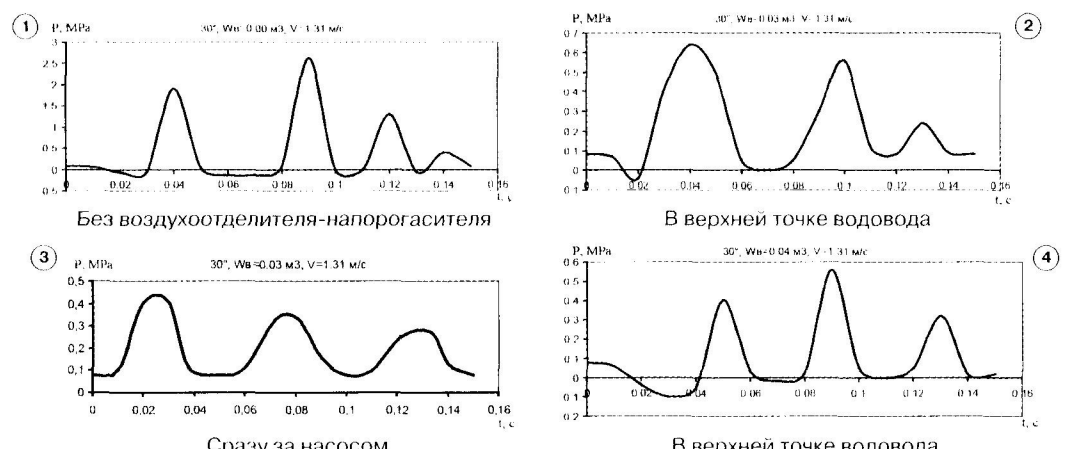
Оказалось, что, в случае аварийной остановки насосного оборудования или при резком закрытии запорного органа ( $t_3 < 0.02$  сек) на водоводе для определения максимального давления фаз гидравлического удара, начинающегося с волны повышения давления, можно использовать зависимость [4]:

$$\Delta H_{\text{доп}} = \frac{a}{g} (V_u - V_n), \quad (2)$$

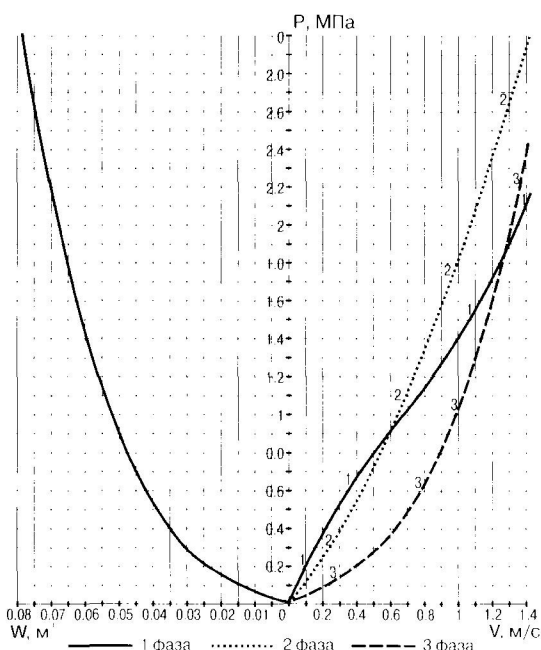
где:  $V_u, V_n$  — скорости движения восходящего и нисходящего потоков жидкости, м/с.

На основе полученных опытных данных можно сделать вывод, что установка воздухоотделителя-напорогасителя центробежного действия в верхней точке перегиба водовода исключает возникновение гидравлического удара в нисходящей ветви за счет выхода воздушного скопления из трубопровода. Но, в восходящей ветви водовода, в случае аварийной остановки насоса или при резком закрытии задвижки на напорной линии, гашение энергии происходит не в полной мере. Поэтому, при монтаже предпочтительна установить воздухоотделитель центробежного действия за используемым насосом.

На рисунке 3 показаны графики фаз внутритрубных давлений, подтверждающие этот вывод.



**Рис. 3.** Графики фаз внутритрубных давлений. Гашение фаз гидравлических ударов воздухоотделителем-напорогасителем (тензодатчик установлен после задвижки перед восходящей ветвью водовода)



**Рис. 4.** Номограмма для определения объема воздушной камеры воздухоотделителя-напорогасителя, энергий фаз гидравлического удара

Компьютерная обработка экспериментальных данных позволила установить взаимосвязь и построить номограмму определения объема воздушной камеры воздухоотделителя-напорогасителя центробежного действия в зависимости от скорости движения воды в трубопроводе и давления фаз гидравлического удара (рис. 4).

Это позволяет выполнить оптимальную вариацию параметров воздухоотделителя при расчетах и изготовлении его, исходя из максимального давления фаз гидравлического удара по «Номограмме» в зависимости от скорости движения воды в трубопроводе

### Использованная литература

1. Касымбеков Ж. К., Ботантаева Б. С. Исследование условий образования скоплений воздуха на изгибе напорного водовода в вертикальной плоскости //Materiały V Miedzynarodowej naukowej konferencji «Wschodnia spolka — 2009», Volume 7 Techniczne nauki. — Пшемыśl (Польша), Nauka i studia, 2009. С.27–31.
2. Патент РК № 20422. Воздухоотделитель-напорогаситель.// Ни Н. П., Рыбинцев Ю. П. и др. — Астана, 2007
3. Дикаревский В. С. Исследование гидравлических ударов в трубопроводах с учетом потерь энергии // Сборник трудов ЛИИЖТа, вып. 321. — Л., 1971.
4. Числов В. И. Защита водоводов насосных станций от гидравлических ударов с помощью гасителей //Автореф. дисс. на к.т.н. — Харьков, 1974.

**Zh.K. Kasymbekov, N.P. Ni, B.S. Botantaeva**

### TESTING OF THE WATER-PIPE CENTRIFUGAL VENT VALVE-PRESSURE DAMPER IN LABORATORY CONDITIONS

*It is found that placement of centrifugal vent valve in the top point of the pipe bend fully avoids water hammer especially when air content is up to 16% of the water flow. At this, degree of water separation is 80...85% and reasonable operating parameters meet this working condition.*

*Use of centrifugal vent valve -pressure damper in the top point of the pipe bend avoids water hammer in the descending branch by means of air output from pipelines.*

**Keywords:** plumbing, vent valve, centrifugal action, pressure damper, test.

---

*Authors:*

**Kasymbekov Zuzbay**, Doc. Sci. Eng., academician of National Academy of Engineering, prof. Chair of Engineering systems and networks, Kazakh National Technical University named after K. I. Satpayev (Kazakhstan).

**Ni Nadezhda**, candidate of technical sciences, senior researcher at the Kazakh Scientific Research Institute of water management (Kazakhstan).

**Botantaeva Bibigul**, Ph. d., group leader, PC «Kazhyprovodkhoz» (Kazakhstan).

*References:*

1. Kasymbekov Zh. K., Botantaeva B. S. Issledovanie uslovij obrazovanija skoplenij vozduha na izgibe napornogo vodovoda v vertikal'noj ploskosti [Investigation of conditions of air locks formation at the power conduit bend in vertical plane], Materiały V Miedzynarodowej naukowej konferencji «Wschodnia spolka — 2009», Volume 7, Techniczne nauki, Przemysł (Poland), Nauka i studia, 2009, pp.27-31. (in Russian)
2. Patent RK № 20422. Vozduhootdelitel'-naporogasitel [Vent valve-pressure damper] Ni N. P., Rybincev Ju.P. at alias, Astana, 2007. (in Russian)
3. Dikarevskij V. S. Issledovanie gidravlicheskikh udarov v truboprovodah s uchetom poter' jenergii [Investigation of water hammers in pipelines taking into account the energy losses], collection of works of Petersburg State Transport University, issue 321, SPb, 1971. (in Russian)
4. Chislov V. I. Zashchita vodovodov nasosnyh stancij ot gidravlicheskikh udarov s pomoshch'ju gasitelej [Protection of pumping stations water conduits from water hammers with the use of dampers], synopsis of thesis by candidate of techn. science, Kharkov, 1974. (in Russian)